## Доклады Академии наук СССР 1973. Том 208, № 4

**У**ДК 539.373./374: 620.192.46: 621.771.28 *ТЕХНИЧЕСКАЯ ФИЗИКА* 

Член-корреспондент АН СССР В. С. СМИРНОВ, В. И. ВЛАДИМИРОВ, К. Т. ЖЕЛЯЗКОВ (Болгария), Б. В. САДОВНИКОВ

## ВНУТРЕННИЕ НАПРЯЖЕНИЯ, СОЗДАВАЕМЫЕ ДИСЛОКАЦИЯМИ В ЦИЛИНДРИЧЕСКОМ ОБРАЗЦЕ ПОСЛЕ ПОПЕРЕЧНОЙ ПРОКАТКИ

1. Вопрос с внутренних напряжениях, возникающих в образце в процессе поперечной прокатки, имеет большую историю (¹); однако до сих пор пет согласия не только по вопросу величины, но и даже знака этих напряжений (²). Согласно (¹), напряжения в центре заготовки должны иметь характер трехосного растяжения, что оспаривается рядом авторов. Очевидно, что механизм разрушения в центре заготовки существенно зависит как от знака, так и от величины этих напряжений. Из общих соображений ясно, что величина напряжений будет меняться вдоль оси образца. Макроскопическая теория пластичности не может в простой форме решить вопрос о трехмерном напряженном состоянии. Поэтому в данной работе предлагается новый метод расчета впутренних напряжений, основанный на дислокационных методах.

В работе (3) авторами было введено понятие об эффективных дислокациях, создающих то же поле дальнодействующих напряжений, что и реальная дислокационная структура, по имеющих большой радиус кривизны или прямолинейных, причем длина таких дислокаций сравнима с

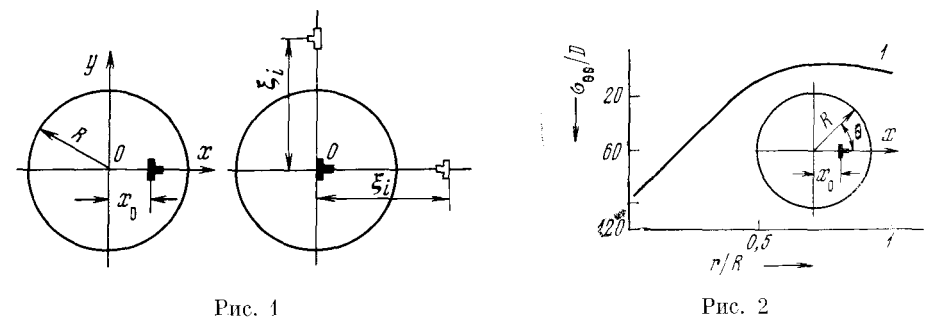


Рис. 1. Схема, поясняющая метод введения мнимых дислокаций

Рис. 2. Изменение тангенциальных напряжений  $\sigma_{\theta\,\theta}$ , возникающих от дислокации с вектором Бюргерса b=4 и расположенной на оси Ox при  $x_0/R=0,5$ , вдоль радиуса образда  $R.~0=45^\circ, --$  сжатие, +- растяжение

размерами образца. В (<sup>3</sup>) были предложены основные типы таких эффективных дислокаций: осевые, с осью вдоль оси образца, и торцевые, осуществляющие пластическую деформацию по коническим поверхностям вблизи торца (см. рис. 1, 2 работы (<sup>3</sup>)). Данная работа посвящена расчету напряжений от осевых эффективных дислокаций.

2. Рассмотрим краевую дислокацию с вектором Бюргерса  $\mathbf{b} = \mathbf{b}_{\theta}$  (перпендикулярным оси образца z) в цилиндрическом образце радиуса R на расстоянии  $x_{\theta}$  от центра (рис. 1). Напряжения от такой дислокации могут быть найдены по методу, предложенному в работе (4) для винтовой дислокации: проводим конформное отображение, переводящее дислокацию в центр цилиндра. Такое преобразование координат не изменяет уравнения

Лапласа. Приближенное решение в новой системе координат эквивалентно введению двух мнимых дислокаций (рис. 1), после него делаем обратный переход в исходную систему координат. В качестве примера приведем напряжения  $\sigma_{xx}$ :

$$\sigma_{xx} = \frac{Db}{R} A \left( \frac{M}{N^2} - \frac{L}{N^2} - \frac{1}{R^2} \right); \tag{1}$$

$$A = x^{2} + y^{2} - (x_{i} - \xi_{i})x + R^{2},$$

$$M = (x_{i} - \xi_{i})^{2}y^{2}[(x - \xi_{i})^{2} + y^{2}],$$

$$L = [x^{2} + y^{2} - (x_{i} - \xi_{i})x + R^{2}]^{2}[(x - \xi_{i})^{2} + y^{2}],$$

$$N = (x_{i} - \xi_{i})^{2}y^{2} + [x^{2} + y^{2} - (x_{i} - \xi_{i})x + R^{2}]^{2};$$
(2)

здесь  $\xi_i$  и  $x_i$  — решения системы уравнений

$$\xi_i x_i = R^2, \quad (\xi_i - x_0) (x_i - x_0) = r_0^2,$$
 (3)

 $r_0$  — радиус ядра дислокаций. При  $r_0 \ll R$   $x_i = x_0$  и  $\xi_i = R^2/x_0$  — расстояние до мнимой дислокации,  $D = G/(2\pi(1-v))$ , G — модуль сдвига, v — ко-эффициент Пуассона.

Аналогичный вид имеют напряжения  $\sigma_{yy}$  и  $\sigma_{xy}$ . Для удобства вычислений был сделан переход в цилиндрическую систему координат. В качестве примера на рис. 2 приведены напряжения  $\sigma_{\theta\theta}$  от дислокации с век-

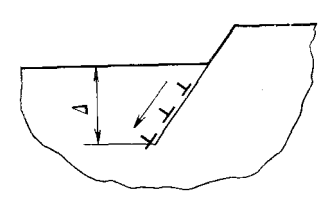


Рис. 3. К определению плотности эффективных дислокапий

тором Бюргерса b=1 и координатой  $x_0/R=0.5$  под углом  $\theta=45^\circ$ . Как и ожидалось, вблизи боковой поверхности напряжения сжимающие, вблизи центра — растягивающие.

3. Определим плотность эффективных дислокаций. Пусть в плоском образце пластическое течение зародилось на новерхности и проникло в глубь образца на величину  $\Delta$  (рис. 3). При выходе каждой из линий скольжения на поверхность тела исчезают дислокации одного знака и создается избыток дислокаций другого знака. Этот избыток и может быть описан как группа

параллельных эффективных дислокаций. Если на протяжении какой-либо части поверхности имеется группа одинаковых линий скольжения, то в области  $\Delta$ , охваченной деформацией, создается большая плотность избыточных (т. е. эффективных) дислокаций  $\rho_{\mathfrak{d}\mathfrak{d}}$ . Пусть l и  $l_{\mathfrak{n}}$  — длина свободных пробегов дислокаций впутри образца и вблизи поверхности. Тогда из выражений

$$n_{\vartheta \phi} = \rho l_{\mathfrak{a}}, \quad \varepsilon = \rho b l,$$

где  $n_{\circ \Phi}$  — число эффективных дислокаций,  $\varepsilon$  — относительная пластическая деформация, b — вектор Бюргерса, следует

$$\rho_{\vartheta \varphi} \approx \frac{n_{\vartheta \varphi}}{\Delta} = \frac{\varepsilon}{b\Delta} \frac{l_{\text{II}}}{l} \tag{4}$$

(если эффективные дислокации располагаются равномерно внутри этого тела). Напряжения от эффективных дислокаций могут быть весьма велики. Пусть, например,  $\Delta=1$  см, тогда напряжения на границе слоя деформации  $\Delta$  будут порядка

$$\sigma_{3\phi} \approx D b \rho_{3\phi} \Delta^2 / \Delta \approx D \varepsilon l_{\pi} / l;$$
 (5)

при  $\varepsilon = 0.1 = 10\%$  и  $l_{\rm m} / l = 1$   $\sigma_{\rm bp} \approx 100~{\rm ke/mm^2}.$ 

4. При поперечной прокатке с малыми единичными обжатиями  $\varepsilon \leqslant 2\%$ эффективные дислокации, как было показано в (3), располагаются кругами, занимая цилиндрический слой  $R \ge r \ge R_1$ . Предполагая, как и ранее, что эффективные дислокации распределены внутри этого слоя равномерно и, вычисляя их полное количество по формуле (4), где  $\varepsilon = \varepsilon_r - \text{сум}$ марное обжатие и  $l_{
m n}=l$ , можно найти напряжения в свободной от дислокапий осевой зоне образца  $R_i > r \ge 0$ .

Такие расчеты для r = 0.1~R были проведены численно на ЭВМ «Наири-С» с использованием формул (1) — (3) и аналогичных им. Размер области деформации  $R_i$  брали из эксперимента. Результаты расчетов для

трех алюминиевых образнов сведены в табл. 1.

Таблица 1

Номер образца	ε <sub>Σ</sub> ,%	ε, %	$(R-R_1)/R$	σ <sub>θθ</sub> , κr/mm²	σ <sub>γγ</sub> , κr/mm²
1	1,9	$\begin{bmatrix} 0,5\\0,36\\0,5 \end{bmatrix}$	0,3	0,6	0,1
2	7,1		0,6	4	1,1
3	7,5		0,8	9,5	9

5. Эти результаты подтверждают высказанное ранее (1) на основе макроскопических расчетов утверждение, что при малых единичных обжатиях разрушение происходит из-за нормальных напряжений. Действительно, согласно данным (3) и (5), образцы 1 и 2 еще имеют некоторый запас пластичности, а образец 3 находится в предразрывном состоянии. Расчеты также показывают, что растягивающие напряжения в центральной части первого образца малы, а у третьего образца достигают величины порядка предела прочности на разрыв чистого алюминия. Оценки осевых напряжений  $\sigma_{zz}$  также показывают, что при  $0 < R_1 \ll R$  они достигают величин  $\sim \sigma_{rr}$  и  $\sigma_{\theta\theta}$ . Таким образом, проведенные расчеты подтверждают точку зрения, согласно которой разрушение в центральной зоне заготовки при малых единичных обжатиях происходит за счет трехосных растягиваюших напряжений.

Ленинградский политехнический институт им. М. И. Калинина

Поступилс 22 IX 1972

## ЦИТИРОВАННАЯ ЛИТЕРАТУРА

<sup>1</sup> В. С. Смирнов, Поперечная прокатка, 1948. <sup>2</sup> П. К. Тетерин, Теория поперечно-винтовой прокатки, М., 1971. <sup>3</sup> В. С. Смирнов, В. И. Владимиров, Б. В. Садовников, ДАН, 203, № 3, 70 (1972). <sup>4</sup> І. Кочася, Acta Physica, 15, 11 (1962). <sup>5</sup> В. И. Владимиров, Б. В. Садовников, В. С. Смирнов, Физ. и хим. обработка матер., № 1, 76 (1972).